

روش مرز غوطه‌ور - شبکه بولتزمن جهت مدل‌سازی جریان سیال غیرنیوتی بر روی مرنج‌های منحنی

محمد هادی صداقت^۱، محمدحسن شاهمردان^{۲*}، محسن نظری^۳، محمود نوروزی^۴

۱- دانشجوی دکتری، دانشکده مهندسی مکانیک، دانشگاه شهرورد، شهرورد

۲- دانشیار، دانشکده مهندسی مکانیک، دانشگاه شهرورد، شهرورد

۳- استادیار، دانشکده مهندسی مکانیک، دانشگاه شهرورد، شهرورد

۴- استادیار، دانشکده مهندسی مکانیک، دانشگاه شهرورد، شهرورد

*شهرورد، متندوق پستی 3619995161 mmshahmardan@shahroodut.ac.ir

چکیده

در این مطالعه با استفاده از روش مرز غوطه‌ور شبکه بولتزمن به مدل‌سازی جریان سیال غیرنیوتی با مدل توانی بر روی سطوح منحنی پرداخته شده است. از جمله ویژگی‌های این روش در مطالعه حاضر، می‌توان به صورت فشاری معادلات شبکه بولتزمن جهت مدل‌سازی مناسب گردید که فشار در سیستم مورد مطالعه اشاره کرد. بعلاوه جهت اعمال شرط مرزی عدم لغزش در اطراف مرز جسم، روش مرز غوطه‌ور به صورت خاصی به کار گرفته شده است. همچنین برای مدل‌سازی مناسب فیزیکی مندسه مورد مطالعه و همچنین اعمال خواص غیرنیوتی سیال، پارامترهای تبدیل متغیرهای فیزیکی به متغیرهای روش شبکه بولتزمن معنی شده است. در ابتدا توانایی این روش در مدل‌سازی سیال غیرنیوتی با مدل توانی در اطراف استوانه دایروی در داخل کاتال در حدود $5 \leq Re \leq 40$ بررسی شده است. در این راستا، سیان سرعت در کاتال بررسی شده و ضریب درگ بدست امده از حل عددی حاضر تطبیق خوبی با تابع تحقیقات پیشین از خود نشان می‌دهد. در ادامه به بررسی میدان جریان و ضریب درگ جریان سیال غیرنیوتی با مدل توانی بر روی استوانه بیضوی در سه نسبت ابعادی $\eta = 1/2, 1, 2, 5$ پرداخته شده است. تابع نشان می‌دهند که در مقایسه با نسبت ابعادی، عدد رینولدز تأثیر بیشتری بر کاهش میزان ضریب درگ بر روی سیلندر بیضوی داشته و تغییرات شاخص مدل توانی کمترین تأثیر را بر کاهش میزان ضریب درگ دارد.

اطلاعات مقاله

مقاله پژوهشی کامل

در رافت: 22 شهریور 1392

پذیرش: 20 آذر 1392

ارائه در سایت: 30 شهریور 1393

کلید واژگان:

روش مرز غوطه‌ور

شبکه بولتزمن

مرز منحنی

سیال غیرنیوتی

مدل توانی

Immersed boundary - lattice Boltzmann method for modeling non-Newtonian fluid flow around curved boundaries

Mohammad Hadi Sedaghat, Mohammad Mohsen Shahmardan*, Mohsen Nazari, Mahmood Norouzi

Department of Mechanical Engineering, Shahrood University, Shahrood, Iran

* P. O. B. 3619995161 Shahrood, Iran, mmshahmardan@shahroodut.ac.ir

ARTICLE INFORMATION

Original Research Paper

Received 13 September 2013

Accepted 11 December 2013

Available Online 21 September 2014

Keywords:

Immersed Boundary Method

Lattice Boltzmann Method

Curved Boundary

Non-Newtonian Fluid

Power-Law

ABSTRACT

In this paper, the immersed boundary-lattice Boltzmann method has been employed to simulate non-Newtonian flow around curve boundaries. The pressure base lattice Boltzmann equations have been used to solve the Eulerian domain to estimate proper pressure gradient in the Poiseuille flow. In addition Immersed boundary method (IBM) utilizes a discrete set of force density is also used to represent the effect of boundary on flow domain. In addition to simulate the real physical dominate problem and study the right effects of non-Newtonian fluid properties, scaling parameters have been introduced to notice the relationship between physical and lattice variables. At First, the capability of present method is examined for simulating the power-law fluid flow around a confined circular cylinder and the results show good agreement with previous study. In the following, the power-law fluid flow around elliptical cylinder in a channel is investigated for three aspect ratios $\eta = 1, 1.5, 2$ and for $5 \leq Re \leq 40$. Results show that, in comparison to aspect ratio, Reynolds number has greater effects on Drag reduction of elliptic cylinder. On the other hand power law index has the least effect on drag reduction.

مبدل‌های حرارتی با سطح مقطع‌های متفاوت مورد توجه بسیاری از محققان

قرار گرفته است. از جمله دشواری‌های حل این مسائل می‌توان به اعمال

شبکه بندهای پیچیده در اطراف مرز منحنی جهت مدل‌سازی مناسب

جریان و همچنین پیچیدگی در اعمال شرط مرزی اشاره کرد.

روش‌های عددی موجود برای حل اینگونه مسائل به دو دسته کلی

۱- مقدمه

مدل‌سازی جریان سیال بر روی سطوح منحنی از مباحث جالب توجه در علم

مکانیک سیالات محاسباتی به شمار می‌رود. بررسی حرکت یک جسم غوطه‌ور

با مرز منحنی در سیال در مواردی همچون فرایند رسوب گذاری ذرات، انتقال

دارو در رگ‌های خونی و همچنین مدل‌سازی جریان سیال بر روی لوله‌های

Please cite this article using:

M.H. Sedaghat, M.M. Shahmardan, M. Nazari, M. Norouzi, Immersed boundary - lattice Boltzmann method for modeling non-Newtonian fluid flow around curved boundaries, *Modares Mechanical Engineering*, Vol. 14, No. 8, pp. 146-156, 2014 (In Persian)

برای ارجاع به این مقاله از عبارت ذیل استفاده نمایید:

کanal گرادیان فشار در راستای طول کanal ثابت است (فسار رابطه خطی با طول کanal دارد) همچنین در روش شبکه بولتزمن، چهت در نظر گرفتن سیال به عنوان گاز ایده‌آل فشار یک رابطه خطی با چگالی دارد، این بدان معنی است که چگالی هم باید همانند فشار در طول کanal به صورت خطی تغییر کند که با فرض غیر قابل تراکم بودن سیال متناقض است. بنابراین، بنابراین روش‌های گذشته به درستی نمی‌توانستند سیستم‌هایی که عامل حرکت سیال در آن‌ها گرادیان فشار می‌باشد را به درستی مدل کنند [16].

حتی اعمال شرط مرزی گرادیان فشار نیز با مشکلاتی روپرور می‌شود. چهت رفع این مشکلات هی و لو [16] از تابع توزیع فشار به جای توزیع جریان (که در مدل‌های گذشته رواج داشت)، استفاده کردند و معادلات خود را بر اساس تابع توزیع فشار ارائه دادند. با رواج بیشتر روش شبکه بولتزمن و توانایی مطلوب آن در مدل‌سازی جریان سیال در اطراف سطوح منحنی، مدل‌سازی جریان سیال با استفاده از این روش رواج یافت [18,17].

برای استفاده از مزایای روش مرز غوطه‌ور برای مدل‌سازی جریان در اطراف اجسام با مرزهای پیچیده، روش شبکه بولتزمن در ترکیب با روش مرز غوطه‌ور چهت سهولت در اعمال شرط مرزی مناسب در مرز بین سیال و جامد مورد استفاده قرار گرفت و روش مرز غوطه‌ور شبکه بولتزمن⁶ ارائه شد [7]. از جمله موارد مهم چهت مدل‌سازی مناسب جریان در این روش که می‌باشد مورد توجه قرار گیرد، محاسبه نیروی اعمالی از طرف جسم صلب به سیال می‌باشد. به طور کلی سه روش پنالتی⁷ [19] اعمال مستقیم⁸ [20] و تغییرات تکانه⁹ [21] برای محاسبه این نیرو مطرح شده است. تفاوت در این روش‌ها به محاسبه نیروی اعمالی از جسم غوطه‌ور به سیال برمی‌گردد.

فنگ و میخائلیزد [19] اولین مدل روش مرز غوطه‌ور شبکه بولتزمن را پیشنهاد کردند. روش تکیی فنگ و میخائلیزد اکثر خواص مطلوب روش‌های جسم غوطه‌ور و روش شبکه بولتزمن را در برداشت. این روش از یک شبکه اوپلری عمومی برای حوزه‌ی سیال (شبکه بولتزمن) و از یک شبکه لاغرانژی برای دنبال کردن ذرات (جسم غوطه‌ور) استفاده می‌کند. آنها برای معتبرسازی روش خود، مهارت ذرات جامد شناور در یک جریان برشی ساده و همچنین جریان روی دو ذره مدور ساکن در یک کanal و نیز رسوب‌سازی تعداد زیادی ذره مدور در یک محوطه را شبیه‌سازی نموده و نتایج قابل قبولی بدست آورده و ادعا کردند که روش مذکور یک روش نیرومند در حل مسائل برهم‌کش ذره‌سیال با تعداد زیاد ذره است و در مقایسه با روش شبکه بولتزمن معمولی، روش دقیق‌تری برای اعمال شرط مرزی بر روی مرز سیال جامد است. این روش نه تنها مرزها را هموارتر از روش شبکه بولتزمن نشان می‌دهد بلکه از نوسانات سرعت‌ها و نیروهای وارد بر ذره که در روش شبکه بولتزمن دیده می‌شود، جلوگیری می‌کند، و به طور کلی در حل مسائل با تغییر شکل ساختاری بسیار توانست [19]. سرانجام این روش توسط و و شو [7] بهبود یافت و آنها توانستند نیروهای وارد بر مرز غوطه‌ور از طرف سیال را به صورت ضمنی¹⁰ محاسبه و اعمال کنند، که در واقع در هزینه و دقت محاسبات تأثیر چشمگیری دارد. آنها [7] حرکت یک ذره در جریان برشی عمومی و حرکت دو ذره در یک کanal را با استفاده از روش پیشنهادی خود شبیه‌سازی نمودند. بنابراین روش شبکه بولتزمن مرزغوطه‌ور ارائه شده توسط و و شو [7] کاملترین روشی است که چهت مدل‌سازی جریان سیال نیوتونی در اطراف سطوح منحنی و بررسی جریان سیال در اطراف ذرات و اجسام دارای سطوح منحنی مورد توجه قرار گرفته است [7].

تقسیم می‌شوند: رویکرد شبکه متجرک¹ و رویکرد شبکه ثابت². در رویکرد شبکه متجرک، دامنه محاسباتی مورد نظر بر روی جسم متجرک ثابت شده و با حرکت ذره در داخل سیال به هنگام می‌شود [3-1] در رویکرد شبکه ثابت، روش‌های مختلف عددی ارائه شده است [7-4]. از جمله روش‌های موجود در این رویکرد می‌توان به روش مرز غوطه‌ور اشاره کرد که اولین بار توسط پسکین [8] برای مدل‌سازی جریان خون در دریچه‌های قلب ارائه شد. برای مدل‌سازی مناسب جسم غوطه‌ور در این روش، از نقاط اوپلری و لاغرانژی استفاده می‌گردد. نقاط اوپلری چهت مدل‌سازی فاز سیال که در کل دامنه محاسباتی ثابت در نظر گرفته شده به کار گرفته می‌شوند. چهت مدل‌سازی صحیح در مرز جسم غوطه‌ور و اعمال شرط مرزی از نقاط لاغرانژی که بر روی مرز جسم در نظر گرفته می‌شوند، استفاده می‌گردد. در این روش جسم غوطه‌ور در سیال به عنوان یک جسم با مرز انعطاف پذیر ولی با صلیبت بالا در نظر گرفته می‌شود. جریان سیال بر روی این جسم سبب تغییر شکلهای کوچک در مرز آن می‌گردد ولی تمايل جسم صلب در برگرداندن مرز به حالت اولیه باعث به وجود آمدن نیرویی در مرز بین سیال و جسم صلب می‌گردد. بنابراین پس از محاسبه این نیرو در نقاط لاغرانژی بر روی مرز جسم، میزان اثر این نیرو بر روی نقاط اوپلری محاسبه می‌گردد تا اثرات ناشی از حضور جسم در سیال مدل‌سازی شود. بنابراین می‌باشد معادله ناویر-استوکس در حضور ترم نیرو³ ناشی از حضور جسم صلب در سیال، در کل ناحیه محاسباتی حل شود [7]. ترکیب این روش با روش‌های عددی موجود به تدریج برای مدل‌سازی جریان سیال در اطراف سطوح منحنی مورد توجه قرار گرفت. فاصلون و همکاران [9] روش تفاضل محدود مرز غوطه‌ور را برای مدل‌سازی جریان سیال در اطراف یک جسم صلب ارائه نمودند. همچنین اولمن [10] با بهبود روش مرز غوطه‌ور که توسط پسکین [8] ارائه شده بود، به بررسی جریان سیال در اطراف اجسام صلب دو بعدی و سه بعدی پرداخت. اخیراً روش جدید المان محدود مرز غوطه‌ور⁴ که در واقع حالت توسعه یافته روش مرز غوطه‌ور می‌باشد، ارائه شده است [12,11].

در بیشتر مطالعات عددی موجود، معادله ناویر- استوکس با استفاده از روش‌های رایج در دینامیک سیالات محاسباتی مانند تفاضل محدود، المان محدود و حجم محدود گسسته‌سازی و حل شده است. اخیراً به جای گسسته- سازی و حل معادله ناویر- استوکس، از روش شبکه بولتزمن به عنوان یک طرح عددی مطلوب برای شبیه‌سازی جریان‌های سیال و مدل‌سازی فیزیک سیالات استفاده می‌گردد [13-15]. این روش برخلاف روش‌های رایج در دینامیک سیالات محاسباتی در مقیاس ماکروسکوپیک، بر اساس مدل‌های مزسکوپیک استوار است. همچنین از جمله مزایای این روش در مقایسه با روش‌های مرسوم در دینامیک سیالات محاسباتی می‌توان به پیاده‌سازی آسان، سهولت در محاسبات به دلیل وجود عملگرهای خطی و همچنین قابلیت موازی شدن اشاره کرد [15].

مزایای روش شبکه بولتزمن نسبت به سایر روش‌های مرسوم در دینامیک سیالات محاسباتی موجب گردیده که این روش چهت مدل‌سازی جریان و بررسی انتقال حرارت مورد توجه قرار گیرد. در ابتدا مدل‌هایی با فرض جریان تراکم ناپذیر و با در نظر گرفتن تقریب BGK⁵ چهت مدل‌سازی جریان ارائه گردید [14]. در سال 1997 هی و لو [16] مدل جدیدی از شبکه بولتزمن را چهت مدل‌سازی جریان تراکم ناپذیر درون کanal ارائه کرد. در جریان درون

6- LB-IBM

7- Penalty Method

8- Direct Forcing Scheme

9- Momentum Exchange Method

10- Implicit

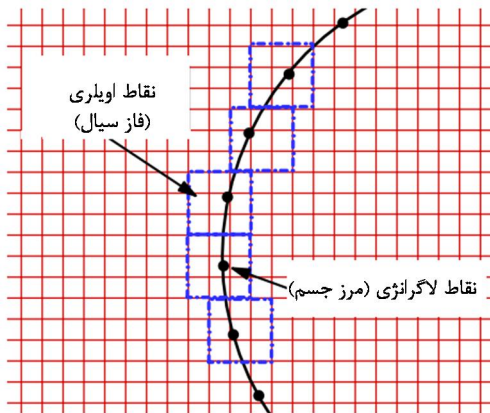
1- Moving Mesh Method

2- Fixed Mesh Method

3- Force Term

4- Immersed Finite Element Method

5- Bhatnagar-Gross-Krook



شکل ۱ شماتیک از ناحیه محاسباتی در روش مرز غوطه‌ور

پس از توضیح کلی در مورد روش مرز غوطه‌ور، در ادامه به بررسی معادلات حاکم پرداخته می‌شود. در رابطه (۱) معادلات حاکم برای جریان تراکم ناپذیر که از مدل توانی پیروی می‌کند، ارائه شده است. همان‌طور که قبلًا نیز ذکر شد، در روش مرز غوطه‌ور اثرات مرزهای جسم به صورت یک ترم نیروی اضافی به معادلات مومنتوم اضافه می‌شود. بنابراین معادلات پیوستگی و مومنتوم در مقیاس ماکروسکوپیک به صورت معادلات (۱) قابل بیان است:

$$\bar{v} \cdot \bar{u} = 0 \quad (1-\text{الف})$$

$$\frac{\partial \bar{U}}{\partial t} + \bar{U} \cdot \bar{\nabla} \bar{U} + \frac{1}{\rho} \bar{\nabla} p = \frac{1}{\rho} \bar{\nabla} \cdot \sigma + \bar{f} \quad (1-\text{ب})$$

$$\bar{f}(\bar{x}, t) = \int_{\Gamma} \bar{F}(s, t) \delta(\bar{x} - \bar{X}(s, t)) ds \quad (1-\text{ج})$$

$$\frac{\partial \bar{X}(s, t)}{\partial t} = \bar{U}(\bar{X}(s, t), t) = \int_{\Omega} \bar{U}(\bar{x}, t) \delta(\bar{x} - \bar{X}(s, t)) d\bar{x} \quad (1-\text{د})$$

در معادله (۱)، t ، \bar{x} ، \bar{U} و \bar{f} به ترتیب زمان، مکان، فشار، سرعت و نیروی وارد بر میدان سیال به دلیل حضور جسم صلب در دستگاه مختصات اوپلری می‌باشد. همچنین ρ نشان دهنده چگالی سیال می‌باشد. بهلاوه \bar{X} ، \bar{U} و \bar{f} به ترتیب نشانگر مکان، نیروی وارد به مرزها و سرعت نقاط لاغرانژی است. معادلات (۱-ب) و (۱-ج) معمایت ناویر- استوکس با وجود ترم نیروی اضافی به دلیل حضور جسم در سیال (در روش مرز غوطه-ور) است و در ادامه شیوه محاسبه این نیرو ذکر می‌شود. برای اعمال روش مرز غوطه‌ور و ارتباط بین دو دستگاه مختصات اوپلری و لاغرانژی، معادلات (۱-ج) و (۱-د) در نظر گرفته می‌شود. در واقع در معادله (۱-ج) نیروهای مرزی محاسبه شده در مختصات لاغرانژی، توسطتابع دلتای دیراک $\delta(\bar{x} - \bar{X}(s, t))$ به نیروهای وارد بر سیال در مختصات اوپلری تبدیل می-شود و در معادله (۱-د) سرعت نودهای اوپلری به نودهای لاغرانژی برازش می‌گردد. همچنین در معادله (۱)، σ تانسور تنش بوده که از رابطه (۲) قابل محاسبه است.

$$\sigma = 2\mu \epsilon(\bar{U}) \quad (2)$$

در رابطه (۲)، $\epsilon(\bar{U})$ تانسور نرخ برش بوده که مقدار آن از رابطه (۳) محاسبه می‌شود.

$$\epsilon(\bar{U}) = \frac{(\nabla \bar{U}) + (\nabla \bar{U})^T}{2} \quad (3)$$

همچنین در رابطه (۲)، μ ویسکوزیته سیال بوده که در مدل توانی از رابطه (۴) محاسبه می‌شود.

$$\mu = m \left(\frac{l_2}{2} \right)^{\frac{(n-1)}{2}} \quad (4)$$

از آنجا که بسیاری از سیالات موجود در محیط، همانند سیالات درشت مولکول (پلیمرها و یا مواد مذاب)، محلول‌های چند فازی و همچنین تعدادی از سیالات موجود در بدن انسان (مانند خون و مایع مخاطی درون نای و غیره) در گستره سیالات نیوتونی قرار نمی‌گیرند و خواص غیرنیوتونی را از خود نشان می‌دهند. بنابراین بررسی جریان سیال غیر نیوتونی در اطراف سطوح منحنی مورد توجه بسیاری از محققان قرار گرفته است. برای مثال رائو و همکاران [۲۲]، سیواکومار و همکاران [۲۳] و بھارتی و همکاران [۲۴] به کمک نرم افزار فلوئنت به بررسی اثرات متفاوت جریان سیال غیرنیوتونی بر روی یک سیلندر بیضوی در محیط بینهایت پرداختند همچنین بھارتی و همکاران [۲۵] به بررسی جریان سیال غیرنیوتونی در اطراف عدد رینولدز و خواص سیال غیر نیوتونی را بر روی جریان سیال و ضریب درگ بررسی کردند.

روش شبکه بولتزمن نیز برای مدل‌سازی جریان سیال غیرنیوتونی مورد توجه بسیاری از محققان قرار گرفته است. سان [۲۶] در سال ۲۰۰۵ به مدل‌سازی جریان خون (به عنوان یک سیال غیرنیوتونی) به روش شبکه بولتزمن پرداخت. کراولد [۲۷] مدل کاربوبیاسودا را برای سیال غیرنیوتونی در نظر گرفت و با استفاده از روش شبکه بولتزمن به بررسی سیال شبه پلاستیک پرداخت. همچنین گابانلی [۲۸] به مدل‌سازی جریان توانی به روش شبکه بولتزمن پرداخت و نتایج را با حل تحلیلی مقایسه کرد.

در این تحقیق ابتدا روش مرز غوطه‌ور شبکه بولتزمن فشاری جهت بررسی جریان سیال غیرنیوتونی با مدل توانی درون کانال معروف می‌شود. بهلاوه برای مدل‌سازی مناسب فیزیکی و خواص غیر نیوتونی، روابط بین پارامترهای فیزیکی و پارامترهای موجود در روش شبکه بولتزمن معروف می‌شود. پس از آن، نتایج برای جریان سیال غیر نیوتونی در اطراف یک استوانه دایروی در داخل کانال، معتبرسازی می‌گردد. در ادامه به بررسی جریان سیال غیر نیوتونی در اطراف یک استوانه دارای مقطع بیضوی در دو نسبت تناسب در داخل کانال پرداخته می‌شود. در این مسئله به بررسی عدد رینولدز، خواص غیرنیوتونی سیال و همچنین اثرات نسبت تناسب جسم بر رژیم حاکم بر جریان سیال و نیز درگ ایجاد شده بر روی سیلندر پرداخته می‌شود.

۲- معادلات حاکم

مطابق شکل ۱، جسمی با مرز منحنی که در داخل فاز سیال قرار گرفته، در نظر گرفته می‌شود. همان‌طور که در این شکل نشان داده شده است، برای مدل‌سازی جریان به روش مرز غوطه‌ور نقاط اوپلری در مختصات کارتزین در داخل فاز سیال و نقاط لاغرانژی بر روی مرز جسم غوطه‌ور، در ناحیه محاسباتی در نظر گرفته می‌شود. بهلاوه نقاط لاغرانژی بر روی مرز جسم می‌توانند در هر زمان با جسم مورد نظر حرکت کنند. بنابراین در روش مرز غوطه‌ور، ابتدا معادلات مومنتوم و پیوستگی، بدون در نظر گرفتن جسم غوطه-ور، توسط یکی از روش‌های مرسوم عددی بر روی نقاط اوپلری حل می‌شود. سپس با تعریف یک تابع دلتای دیراک^۱ می‌توان سرعت نقاط اوپلری محاسبه شده را بر روی نقاط لاغرانژی برازش کرد. اگر سرعت جسم بر روی مرز مشخص باشد، از اختلاف سرعت به دست آمده از برازش مقادیر نقاط اوپلری بر نقاط لاغرانژی و سرعت واقعی جسم (در مرز)، می‌توان یک نیروی اضافی به صورت ترم نیرو به معادلات مومنتوم اضافه کرد. حال معادلات برای نقاط اوپلری تا زمانی که سرعت به دست آمده از برازش مذکور با سرعت واقعی جسم غوطه ور برابر شود، مجدداً حل می‌شود.

1- Aspect ratio

2- Dirac delta function

با توجه به مزایای ذکر شده روش شبکه بولتزمن فشاری در مقایسه با روش‌های متداول شبکه بولتزمن در مدل‌سازی جریان سیال غیر قابل تراکم درون کاتال [16]، در این قسمت مدل فشاری شبکه بولتزمن جهت مدل‌سازی جریان سیال غیر نیوتونی (مدل جریان توانی) استفاده شده است. برای این منظورتابع توزیع فشاری و تابع توزیع تعادلی فشاری به ترتیب به صورت $p_\alpha^{eq} \equiv c_s^2 f_\alpha^{eq}$ و $P_\alpha \equiv c_s^2 \rho_\alpha$ تعریف می‌شود که f_α به ترتیب تابع توزیع جریان و تابع توزیع تعادلی جریان می‌باشد [16]. با توجه به این تعاریف، فشار مرجع و فشار در شبکه بولتزمن به ترتیب با استفاده از رابطه (9) محاسبه می‌شوند:

$$P_0 = c_s^2 \rho_0, \quad P = c_s^2 \rho \quad (9)$$

همچنین برای ارائه مدل فشاری جریان تراکم ناپذیر در روش شبکه بولتزمن، چگالی سیال به صورت $\rho = \rho_0 + \delta\rho$ تعریف می‌شود. در این تعریف ρ_0 چگالی مرجع در شبکه و $\delta\rho$ تغییرات چگالی را در شبکه نشان می‌دهد بطوریکه از مرتبه $O(M^2)$ می‌باشد [16]. بنابراین معادلات فشاری روش شبکه بولتزمن برای سیال غیرنیوتونی در حضور جسم با مرز منحنی با استفاده از تعریف مذکور و جایگذاری رابطه (9) در معادلات شبکه بولتزمن که توسط گو و همکاران [29] (جهت حل معادله (1)) ارائه شده است، (با حذف جملات از مرتبه $O(M^3)$) به صورت رابطه (10) قابل تعمیم است.

$$p_\alpha(\bar{x} + \bar{e}_\alpha \delta t, t + \delta t) - p_\alpha(\bar{x}, t) = -\frac{1}{\tau}(p_\alpha(\bar{x}, t) - p_\alpha^{eq}(\bar{x}, t)) + \bar{F}_\alpha \delta t \\ F_\alpha = \omega_\alpha P_0 \left(1 - \frac{1}{2\tau} \right) \left(\frac{\bar{e}_\alpha - \bar{U}}{c_s^2} + \frac{\bar{e}_\alpha \cdot \bar{U}}{c_s^4} \bar{e}_\alpha \right) \cdot \bar{f} \quad (10)$$

در رابطه (10)، p_α تابع توزیع فشاری و p_α^{eq} تابع توزیع تعادلی فشاری در جهت \bar{e}_α است. همچنین F_α ترم نیرو در روش مرز غوطه‌ور شبکه بولتزمن به دلیل حضور جسم با مرز منحنی در سیال می‌باشد. تابع توزیع تعادلی فشاری (p_α^{eq}) به صورت رابطه (11) قابل تعریف است.

$$p_\alpha^{eq} = \omega_\alpha \left\{ P + P_0 \left[1 + \frac{3(\bar{e}_\alpha \cdot \bar{U})}{c_s^2} + \frac{9(\bar{e}_\alpha \cdot \bar{U})^2}{2c_s^4} - \frac{3|\bar{U}|^2}{2c_s^2} \right] \right\} \quad (11)$$

همچنین زمان آسودگی (τ) در رابطه (10) مطابق با رابطه (12) تعریف می‌شود [16]:

$$\tau = \frac{v}{c_s^2 \delta t} + 0.5 \quad (12)$$

مؤلفه‌های گستته سرعت \bar{e} برای مدل D_2O_9 (مدل دو بعدی شامل 9 سرعت) از رابطه (13) محاسبه می‌شود.

$$\bar{e}_\alpha = \begin{cases} [0, 0] & \alpha=0 \\ c[\cos(\frac{(\alpha-1)\pi}{2}), \sin(\frac{(\alpha-1)\pi}{2})] & \alpha=1-4 \\ \sqrt{2}c[\cos(\frac{(\alpha-5)\pi}{2} + \frac{\pi}{4}), \sin(\frac{(\alpha-1)\pi}{2} + \frac{\pi}{4})] & \alpha=5-8 \end{cases} \quad (13)$$

در رابطه (13) $c = \Delta x / \Delta t$ (13)، در شبکه بولتزمن می‌باشد. در روابط (10) و (11)، ω_α ضریب وزنی بوده که از رابطه (14) پیروی می‌کند.

$$\omega_i = \begin{cases} \frac{4}{9} & i=0 \\ \frac{1}{9} & i=1-4 \\ \frac{1}{36} & i=5-8 \end{cases} \quad (14)$$

در رابطه (4)، m ضریب سازگاری¹ بوده که در واقع ویسکوزیته سیال در نرخ برش صفر است و n شاخص مدل توانی² است. در این مدل، $1 < n < 1$ مربوط به سیال باریک شونده³، $n=1$ مربوط به سیال نیوتونی و $n > 1$ مربوط به سیال ضخیم شونده⁴ می‌باشد. همچنین $1/2$ نامتفاوت دوم⁵ تانسور نرخ برش (\bar{U}) است که از رابطه (5) قابل محاسبه است.

$$I_2 = 2 \left(\varepsilon_{xx}^2 + \varepsilon_{yy}^2 + \varepsilon_{xy}^2 + \varepsilon_{yx}^2 \right) \quad (5)$$

در معادله (5)، مولفه‌های تانسور نرخ برش در مختصات کارتزین از رابطه (6) محاسبه می‌شود.

$$\varepsilon_{xx} = \frac{\partial U_x}{\partial X}, \quad \varepsilon_{yy} = \frac{\partial U_y}{\partial Y}, \quad \varepsilon_{xy} = \varepsilon_{yx} = \frac{1}{2} \left(\frac{\partial U_x}{\partial Y} + \frac{\partial U_y}{\partial X} \right) \quad (6)$$

3- روش عددی

در این بخش، روش مرز غوطه‌ور شبکه بولتزمن جهت حل معادلات جریان (معادلات (1-الف و 1-ب)) و اعمال شرط مرزی مناسب در مرز جسم ارائه می‌گردد. در ابتدا و پیش از بررسی معادلات شبکه بولتزمن جهت حل معادلات به این روش، لازم است که رابطه بین پارامترهای محیط فیزیکی و پارامترهای ورودی در روش شبکه بولتزمن مشخص شود. برای این منظور ضرایب تبدیل در رابطه (7)، رابطه بین مکان، زمان و چگالی از محیط فیزیکی به محیط بولتزمن را تبیین می‌کند:

$$C_{h_x} = \frac{\Delta X_{phy}}{\Delta x}, \quad C_{h_y} = \frac{\Delta Y_{phy}}{\Delta y}, \quad C_t = \frac{\delta T_{phy}}{\delta t}, \quad C_\rho = \frac{\rho_{phy}}{\rho_0} \quad (7)$$

در رابطه (7)، C_t ، C_{h_x} ، C_{h_y} و C_ρ به ترتیب ضرایب تبدیل برای مکان در راستای x و y ، زمان و چگالی می‌باشند. ρ_0 نیز چگالی مرجع در شبکه بولتزمن است. علت استفاده از ضرایب تبدیل فوق در این تحقیق دو دلیل عمده دارد. اول آنکه به راحتی بتوان اندازه‌ها و خواص واقعی محیط فیزیکی در مدل‌سازی محاسباتی به کار گرفته شود. این در حالی است که در صورت استفاده مستقیم از روش شبکه بولتزمن، به علت محدودیت در مقدار زمان رهایی از تنش و عدد ماخ، در انتخاب ویسکوزیته سیال و شرایط واقعی محیط فیزیکی محدودیت وجود دارد. دومین دلیل آن است که بتوان به راحتی خواص غیرنیوتونی سیال را از محیط فیزیکی به محیط شبکه بولتزمن منتقل نمود. این روش در بسیاری از مدل‌های پیچیده سیال غیرنیوتونی مانند سیالات ویسکوالاستیک نیز که هنوز مدل مناسبی از آنها در روش شبکه بولتزمن ارائه نشده است نیز قابل تعمیم است.

لازم به ذکر است که از این به بعد در این مقاله، زیرنویس phy مربوط به متغیرهای فیزیکی مسأله می‌باشد و برای اختصار بیشتر، متغیرهای روش شبکه بولتزمن بدون زیرنویس نوشته شده‌اند.

در رابطه (7)، با فرض $\Delta x = \Delta y = \Delta x_{phy} = \Delta y_{phy}$ و $\Delta t = \Delta t_{phy}$ می‌توان نوشت $C_{h_x} = C_{h_y} = C_h$. همچنین مابقی ضرایب تبدیل متغیرهای مسأله به صورت زیر (در رابطه (8)) قابل محاسبه هستند:

$$C_u = \frac{U_{phy}}{U} = \frac{C_h}{C_t}, \quad C_v = \frac{V_{phy}}{V} = \frac{C_h^2}{C_t}, \quad C_p = \frac{P_{phy}}{P} = C_\rho \left(\frac{C_h}{C_t} \right)^2 \quad (8)$$

در رابطه (8)، C_u ، C_v و C_p به ترتیب ضرایب تبدیل برای سرعت، ویسکوزیته و فشار می‌باشند.

1- Consistency Index

2- Power-Law index

3- Shear-Thinning

4- Shear-Thickening

5- Second Invariant

$$A\bar{X} = \bar{B} \quad (25)$$

که در رابطه (25) مقادیر A , B , و X به صورت روابط (26) قابل تعریفند:

$$A = \begin{bmatrix} \delta_{11} & \delta_{12} & \cdots & \delta_{1n} \\ \delta_{21} & \delta_{22} & \cdots & \delta_{2n} \\ \vdots & \vdots & \ddots & \vdots \\ \delta_{m1} & \delta_{m2} & \cdots & \delta_{mn} \end{bmatrix}, \quad \delta_{ij}^B = \begin{bmatrix} \delta_{11}^B & \delta_{12}^B & \cdots & \delta_{1m}^B \\ \delta_{21}^B & \delta_{22}^B & \cdots & \delta_{2m}^B \\ \vdots & \vdots & \ddots & \vdots \\ \delta_{m1}^B & \delta_{m2}^B & \cdots & \delta_{mn}^B \end{bmatrix}$$

$$B = \left\{ \begin{array}{l} U_1 \\ U_2 \\ \vdots \\ U_m \end{array} \right\} - \left\{ \begin{array}{l} \delta_{11} & \delta_{12} & \cdots & \delta_{1n} \\ \delta_{21} & \delta_{22} & \cdots & \delta_{21} \\ \vdots & \vdots & \ddots & \vdots \\ \delta_{m1} & \delta_{m2} & \cdots & \delta_{mn} \end{array} \right\} \left\{ \begin{array}{l} U_1^* \\ U_2^* \\ \vdots \\ U_n^* \end{array} \right\}$$

$$X = \{\delta U_1, \delta U_2, \dots, \delta U_m\}^T \quad (26)$$

در روابط (26) m تعداد نقاط لاغرانژی (مرزی) و n تعداد نقاط اولیری است که با توجه به تعریف تابع دلتای دیراک به نوعی با نقاط لاغرانژی در ارتباط هستند.

از حل دستگاه معادله (25) می‌توان تصحیح سرعت نقاط لاغرانژی ($\delta\bar{U}(X, t)$) را محاسبه نمود و به کمک آن نیروی اعمالی از طرف سیال (نقاط اولیری) بر مرز غوطه‌ور (نقاط لاغرانژی) را طبق رابطه (27) محاسبه نمود:

$$F(X, t) = 2 \frac{\delta U}{\delta t} \quad (27)$$

بنابراین الگوریتم کلی این روش به صورت زیر قابل تبیین است:

- 1- با داشتن مشخصات (Δx_{phy} و Δy_{phy}) و اندازه دامنه فیزیکی و با رنظر گرفتن $\Delta x = \Delta y = \Delta t = 1$ و با استفاده از روابط (7) و (8) ضرایب تبدیل و دامنه محیط شبکه بولتزمن محاسبه می‌شود.
- 2- با استفاده از متغیرهای شبکه بولتزمن ماتریس A و معکوس آن (A^{-1}) محاسبه می‌شود.
- 3- با داشتن مقادیر اولیه سرعت فیزیکی و با استفاده از رابطه (4) مقدار ویستکوزیته فیزیکی محاسبه و با استفاده از ضریب تبدیل ویستکوزیته مقدار

ویستکوزیته شبکه بولتزمن در هر نقطه محاسبه می‌شود.

- 4- با استفاده از رابطه (12) (زمان آسودگی (τ) برای هر نقطه محاسبه می‌شود.
- 5- به کمک ضریب تصحیح سرعت، سرعت نقاط شبکه بولتزمن محاسبه و با استفاده از رابطه (10) تابع توزیع برای زمان $t = t_n$ (زمان اولیه که در آن $F_a = 0$) محاسبه شده و با توجه به رابطه (15) سرعت نقاط شبکه بولتزمن محاسبه می‌شود.

- 6- با مشخص شدن دستگاه معادلات (25) تصحیح سرعت نقاط لاغرانژی ($\delta\bar{U}(\bar{X}, t)$) و با برآش این مقادیر بر نقاط اولیری تصحیح سرعت نقاط اولیری بدست می‌آید.

- 7- به کمک رابطه (16) مقادیر سرعت اولیری نقاط اطراف مرز، که با نقاط لاغرانژی در ارتباط هستند تصحیح می‌شوند.

- 8- با مقادیر سرعت جدید به دست آمده، مقدار ρ^{eq} با استفاده از رابطه (11) محاسبه می‌شود.

- 9- به کمک رابطه (27) مقدار نیروی واردہ بر مرزها (نودهای لاغرانژی) که از اختلاف سرعت نودهای لاغرانژی به وجود آمده محاسبه می‌شود.

- 10- مراحل 3 تا 9 تکرار می‌شود تا همگرایی حاصل شود.

4- نتایج عددی

در این قسمت، با استفاده از روش عددی ارائه شده در بخش 3، به بررسی جریان سیال توانی بر روی یک سیلندر بیضوی درون یک کاتال پرداخته می‌شود (شکل 2).

در روش شبکه بولتزمن مقادیر ماکروسکوپیک فشار و سرعت به ترتیب از روابط (15) محاسبه می‌شوند:

$$P = \sum_{\alpha} p_{\alpha}, \quad P_0 \bar{U} = \sum_{\alpha} e_{\alpha} f_{\alpha} + \frac{1}{2} P_0 \bar{f} \delta t \quad (15)$$

برای اعمال شرط مرزی در فصل مشترک سیال و مرز جسم، مطابق با اصل عدم لغزش می‌باشد که سرعت نقاط مرزی بدست آمده از حل عددی (روش شبکه بولتزمن یا هر روش دیگر) با سرعت مرز جسم برابر باشد. همان‌طور که توضیح داده شد، در این مقاله از روش مرز غوطه‌ور برای اعمال شرط مرزی و مدل سازی جریان در مرز منحنی جسم استفاده می‌شود. در این روش، سرعت نقاط مرزی که با استفاده از یک نگاشت مناسب از مقادیر سرعت بدست آمده در نقاط اولیری محاسبه شده است، به گونه‌ای تصحیح می‌شوند که با سرعت نقاط لاغرانژی که بر روی مرز جسم قرار دارند برابر شوند. بنابراین سرعت نقاط اولیری از یک سرعت متوسط (\bar{U}) و یک تصحیح سرعت ($\delta\bar{U}$) (به خاطر وجود جسم غوطه‌ور) مطابق رابطه (16) محاسبه می‌شود:

$$\bar{U} = \bar{U}^* + \delta\bar{U} \quad (16)$$

با مقایسه رابطه (15) و رابطه (16) می‌توان روابط (17) را نوشت.

$$\bar{U}^* = \frac{1}{P_0} \sum_{\alpha} \bar{e}_{\alpha} p_{\alpha}, \quad \delta\bar{U} = \frac{1}{2} \bar{f} \delta t \quad (17)$$

به کمک تابع دلتای دیراک می‌توان مقادیر تصحیح سرعت نقاط اولیری را با استفاده از مقادیر تصحیح سرعت نقاط لاغرانژی از رابطه (18) بدست آورد.

$$\delta\bar{U}(\bar{X}, t) = \int_{\Gamma} \delta\bar{U}(\bar{X}, t) \delta(\bar{X} - \bar{X}(s, t)) ds \quad (18)$$

در رابطه (18)، تابع دلتای دیراک $\delta(\bar{X} - \bar{X}(s, t))$ به صورت رابطه (19) تعریف می‌شود.

$$\delta(\bar{X} - \bar{X}(s, t)) = D_{jj}(\bar{X}_{jj} - \bar{X}_j) \delta(y_{jj} - Y_j) \quad (19)$$

در رابطه (19)، \bar{Y}_j و زبه ترتیب اندیس مختصات نقاط اولیری در جهت x و y و نیز اندیس نودهای لاغرانژی است تابع $\delta(r)$ توسط پسکین [8] به صورت رابطه (20) ارائه شد.

$$\delta(r) = \begin{cases} \frac{1}{h} \left(1 + \cos\left(\frac{\pi r}{2}\right) \right), & |r| \leq 2 \\ 0, & |r| > 2 \end{cases} \quad (20)$$

در رابطه (20)، h فاصله بین نودهای اولیری در اطراف مرز است.

با جایگذاری رابطه (19) در رابطه (18)، می‌توان رابطه (21) را نوشت.

$$\delta\bar{U}(\bar{X}, t) = \sum_i \delta\bar{U}(\bar{X}, t) D_{jj}(\bar{X}_{jj} - \bar{X}_j) \Delta S_j \quad (21)$$

در رابطه (21)، ΔS_j طول کمان المان‌های مرزی (lagranžی) است. همچنین برای ارضای شرط عدم لغزش بر روی مرز باید سرعت سیال در مرز برابر سرعت نقاط متناظر در مرز باشند. که به صورت رابطه (22) بیان می‌شود.

$$\bar{U}_i(X_i, t) = \sum_{i,j} \bar{U}(X_{jj}, t) D_{jj}(\bar{X}_{jj} - \bar{X}_i) \Delta X \Delta Y \quad (22)$$

با جایگذاری معادلات (16) و (18) در معادله (22) رابطه (23) بدست می‌آید.

$$\bar{U}_i(X_i, t) = \sum_{i,j} \bar{U}^*(X_{jj}, t) D_{jj}(\bar{X}_{jj} - \bar{X}_i) \Delta X \Delta Y + \sum_{i,j} \sum_l \delta\bar{U}_i(X_i, t) D_{jj}(\bar{X}_i - \bar{X}_{jj}) \Delta S_l D_{jj}(\bar{X}_{jj} - \bar{X}_i) \Delta X \Delta Y \quad (23)$$

تابع دلتای دیراک برای نقاط اولیری و لاغرانژی به ترتیب در روابط (24) قابل بیان است.

$$\delta_{ij} = D_{jj}(X_{jj} - X_i) \Delta X \Delta Y, \quad \delta_{jj}^B = D_{jj}(X_{jj} - X_i) \Delta S_i \quad (24)$$

آنگاه معادله (8) به صورت ماتریسی طبق رابطه (25) خلاصه می‌شود.

1-1-4- ورودی

در ورودی شرط مرزی سرعت توسعه یافته برای سیال توانی به صورت معادلات (35) قابل بیان است.

$$u_x = U_{\max} \left(1 - \left(\left| \frac{y}{H/2} \right| \right)^{\frac{n+1}{n}} \right) \quad -\frac{H}{2} \leq y \leq \frac{H}{2}$$

$$u_y = 0 \quad (35)$$

در معادله (35) H عرض کanal و U_{\max} سرعت بیشینه در ورودی کanal است که از رابطه (31) قابل محاسبه است.

1-1-4- خروجی

در مرز خروجی شرط مرزی توسعه یافته سرعت افقی به صورت معادلات (36) قابل بیان است.

$$\frac{\partial u_x}{\partial y} = 0, \quad u_y = 0 \quad (36)$$

1-1-4- دیواره های کanal

در دیواره های کanal شرط مرزی عدم لغزش قابل اعمال است.

1-1-4- سیلندر

بر روی سیلندر نیز شرط مرزی عدم لغزش بر روی نقاط لاغرانژی اعمال می شود. طبق رابطه (38) داریم:

$$U_x = 0, \quad U_y = 0 \quad (38)$$

در معادلات (36-34)، u_x و u_y ترتیب مؤلفه های افقی و عمودی سرعت نقاط اولیری و در معادلات (37) U_x و U_y به ترتیب مؤلفه های افقی و عمودی سرعت نقاط لاغرانژی هستند.

برای اعمال شرایط مرزی ذکر شده در روش شبکه بولتزمن فشاری،تابع توزیع مشابه تحقیق هی و لو [16] برای دیواره ها و ورودی و خروجی کanal استفاده شده است.

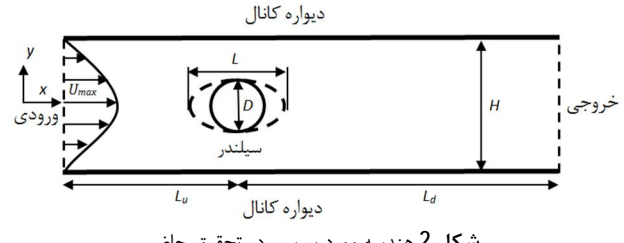
4- مطالعه استقلال حل عددی از شبکه محاسباتی

قبل از ارائه نتایج عددی بدست آمده، در این بخش استقلال حل عددی از شبکه محاسباتی مورد بررسی قرار می گیرد. برای این منظور، ضریب درگ بر روی سیلندر دایروی درون کanal در $Re = 40$ برای شبکه بندی های مختلف مورد بررسی قرار گرفته است. مشخصات این شبکه بندی ها و میزان خطای نسی نسبت به ریزترین گره محاسباتی (2488×200) در جدول 1 ارائه شده است.

با توجه به نتایج موجود در جدول 1، شبکه 120×1489 با خطای نسبی کمتر از 1% شبکه مناسبی برای حل عددی بوده و حل عددی مستقل از شبکه محاسباتی می باشد. بنابراین در این مقاله از این شبکه جهت حل عددی استفاده شده است.

جدول 1 بررسی خطای حل عددی در مقادیر ضریب درگ در شبکه های مختلف

اندازه شبکه (%)	c_D	خطای نسبی (%)
3 / 670	1 / 8208	864 × 70
1 / 610	1 / 7846	1239 × 100
0 / 370	1 / 7629	1489 × 120
0 / 320	1 / 7507	1863 × 150



شکل 2 هندسه مورد بررسی در تحقیق حاضر

در ابتدا بعد از بررسی استقلال کد عددی از شبکه محاسباتی، برای معتمد سازی نتایج، جریان سیال غیر نیوتی (سیال با مدل توانی) بر روی یک سیلندر با مقطع دایروی در $Re = 40$ و $n = 0 / 6, 1, 1 / 4$ و $5 \leq Re \leq 40$ بررسی شده و نتایج عددی با نتایج ارائه شده توسط بهارتی و همکاران [25] معتبر سازی شده است. در ادامه به بررسی جریان سیال بر روی سیلندر با مقطع بیضوی در سه نسبت ابعادی پرداخته شده و اثرات تغییرات خواص غیر نیوتی سیال و همچنین عدد رینولدز بر رژیم حاکم بر جریان و نیز ضریب درگ بر روی سیلندر بررسی شده است هندسه مورد استفاده در این تحقیق همانند هندسه مورد استفاده در مطالعه بهارتی و همکاران [25] (شکل 2) می باشد و با در نظر گرفتن $D_{phy} = 0 / 1$ دیگر مشخصات هندسی به صورت روابط (30-28) قابل محاسبه است [25]:

$$\frac{L_u}{D} = 10, \quad \frac{L_d}{D} = 40 \quad (28)$$

$$\beta = \frac{H}{D} = 4 \quad (29)$$

$$\eta = \frac{L}{D} \quad (30)$$

در معادلات (29) و (30) β و η به ترتیب نسبت انسداد¹ و نسبت ابعادی² هستند.

همچنین با توجه به جریان سیال توانی درون کanal، سرعت بیشینه و مقادیر عدد رینولدز و ضریب درگ به صورت زیر قابل تعریف است [25]. طبق روابط (34-31) داریم:

$$U_{\max} = \left(\frac{2n+1}{n+1} \right) U_{ave} \quad (31)$$

$$Re = \frac{\rho U_{ave}^{(2-n)} D^n}{m} \quad (32)$$

$$C_D = \frac{F_D}{\frac{1}{2} U_{\max}^2 D} \quad (33)$$

$$St = \frac{fD}{U_{ave}} \quad (34)$$

در رابطه (33) F_D نیروی درگ کل بر واحد چگالی بوده که شامل هر دو درگ فشاری و اصطکاکی است و C_D ضریب درگ شکلی است که مجموع ضریب درگ اصطکاکی و فشاری است. رابطه (34) نشان دهنده عدد استروهال³ است که به علت تشکیل گردابه در پشت سیلندر تعریف شده است. در این رابطه f فرکانس گردابه های تشکیل شده در پشت سیلندر است.

4- شرایط مرزی

با توجه به شکل 2 شرایط مرزی هندسه مورد مطالعه به صورت معادلات (37-34) قابل بیان است [25].

1- Blockage Ratio
2- Aspect Ratio
3- Strouhal Number

به علت بزرگ شدن گردابه‌ها است. این گردابه‌ها در واقع شروع گردابه‌های فن کارمن است که به صورت تناوبی و ناپایا در پشت سیلندر تشکیل می‌شوند. برای بررسی بیشتر این موضوع نمودار توزیع سرعت افقی (u_x) در یک نقطه در پشت سیلندر (در فاصله $1/2D$ در پشت سیلندر) نسبت به زمان در شکل 5 ترسیم شده است. همان‌طور که این نمودار نشان می‌دهد در پشت سیلندر سرعت این نقطه به صورت ناپایا بوده و به شکل نوسانی با دوره تناوب ثابت $T = 0.09$ s نسبت به زمان تغییر می‌کند. که این دوره تناوب با دوره تناوب سرعت کلیه نقاط و گردابه‌های تولیدی در پشت سیلندر نیز برابر است. با توجه به تعریف فرکانس می‌توان رابطه (39) را نوشت:

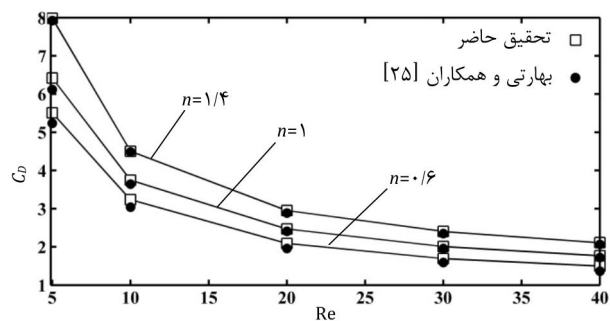
$$f = \frac{2\pi}{T} \quad (39)$$

با محاسبه مقدار فرکانس گردابه‌ها از رابطه (39) و جایگزینی آن در رابطه (34) مقدار عدد استروهال محاسبه می‌شود. که در این حالت $Re = 40$ و $n = 0/5$ (مدار عدد استروهال $St = 34/9$ بست می‌آید. همان‌طور که قبل ذکر شد جریان در این حالت به صورت ناپایا است و شکل 5- د حالت گردابه‌ها را در زمان $t = 0/18$ نشان می‌دهد.

برای بررسی بیشتر اثرات عدد رینولدز و خواص غیرنیوتی سیال، در شکل 6 تغییرات ضریب درگ کل بر حسب عدد رینولدز در پنج سیال مختلف با مشخصات $n = 0/5, 0/75, 1/1, 2/5, 1/5$ ترسیم شده است. همان‌طور در این شکل مشاهده می‌شود، ضریب درگ با افزایش عدد رینولدز به علت افزایش نیروی اینرسی در مقابل نیروی ویسکوز کاهش می‌یابد. بعلاوه در یک عدد رینولدز ثابت، با افزایش شاخص مدل توانی (n)، ضریب درگ به علت افزایش ویسکوزیته سیال و به تبع آن افزایش نیروی درگ اصطکاکی، افزایش می‌یابد این شکل همچنین نشان می‌دهد که اثرات افزایش عدد رینولدز نسبت به کاهش مقدار n بر کاهش ضریب درگ تاثیر بیشتری دارد. برای مثال در حالت $n = 1/5$ با افزایش عدد رینولدز از 5 تا 40 ضریب درگ از مقدار حدودی $1/5$ تا مقدار $2/2$ کاهش می‌یابد در حالی که در عدد رینولدز 5 با کاهش میزان n از $1/5$ به $0/5$ ضریب درگ از مقدار حدودی $8/5$ تا مقدار $5/5$ کاهش می‌یابد که این کاهش در اعداد رینولدز بالاتر کمتر است. که این ناشی از تاثیر پذیری بیشتر ضریب درگ نسبت به عدد رینولدز است. نکته جالب توجه در این نمودار کاهش چشمگیر ضریب درگ در عدد رینولدز 40 با کاهش مقدار n از $0/75$ به $0/5$ است. این کاهش همان‌طور که در شکل 4 توضیح داده شد ناشی از شروع ناپایداری گردابه‌های تولیدی در پشت سیلندر و شروع گردابه‌های فن کارمن است که سبب نوسانی شدن جریان در پشت سیلندر می‌شود و باعث کاهش میزان ضریب درگ تا حدود $0/5$ شده است.

برای بررسی بیشتر اثرات سطح در این بخش، نتایج عددی جریان غیر نیوتی با مدل توانی بر روی یک سیلندر با مقطع بیضی افقی با دو نسبت ابعادی $n = 1/5, 2$ ، بررسی شده است. (شکل 2).

در شکل 7 خطوط جریان در اطراف سیلندر بیضوی برای اعداد رینولدز و شاخص مدل توانی (n) در دو نسبت ابعادی $n = 1/5, 2$ ترسیم شده است. همان‌طور که در این شکل مشاهده می‌گردد، برخلاف سیلندر دایروی که گردابه‌های پشت سیلندر از $Re = 10$ به بعد شروع به تولید شدن می‌کنند، در این حالت گردابه‌ها در اعداد رینولدز بالاتری تولید و با کاهش میزان n به ترتیب شروع به بزرگ شدن می‌کنند. این شکل همچنین نشان می‌دهد که در یک عدد رینولدز و یک n ثابت با افزایش میزان نسبت ابعادی از $1/5$ به 2 گردابه‌ها تا آن حد بزرگ پشت سیلندر کوچکتر می‌شود. علت این امر را می‌توان به افزایش درگ اصطکاکی در مقابل درگ فشاری به علت افزایش سطح مقطع نسبت داد.



شکل 3 مقایسه ضریب درگ در تحقیق حاضر با نتایج بهارتی و همکاران [25]

3-4- معتبر سازی نتایج عددی

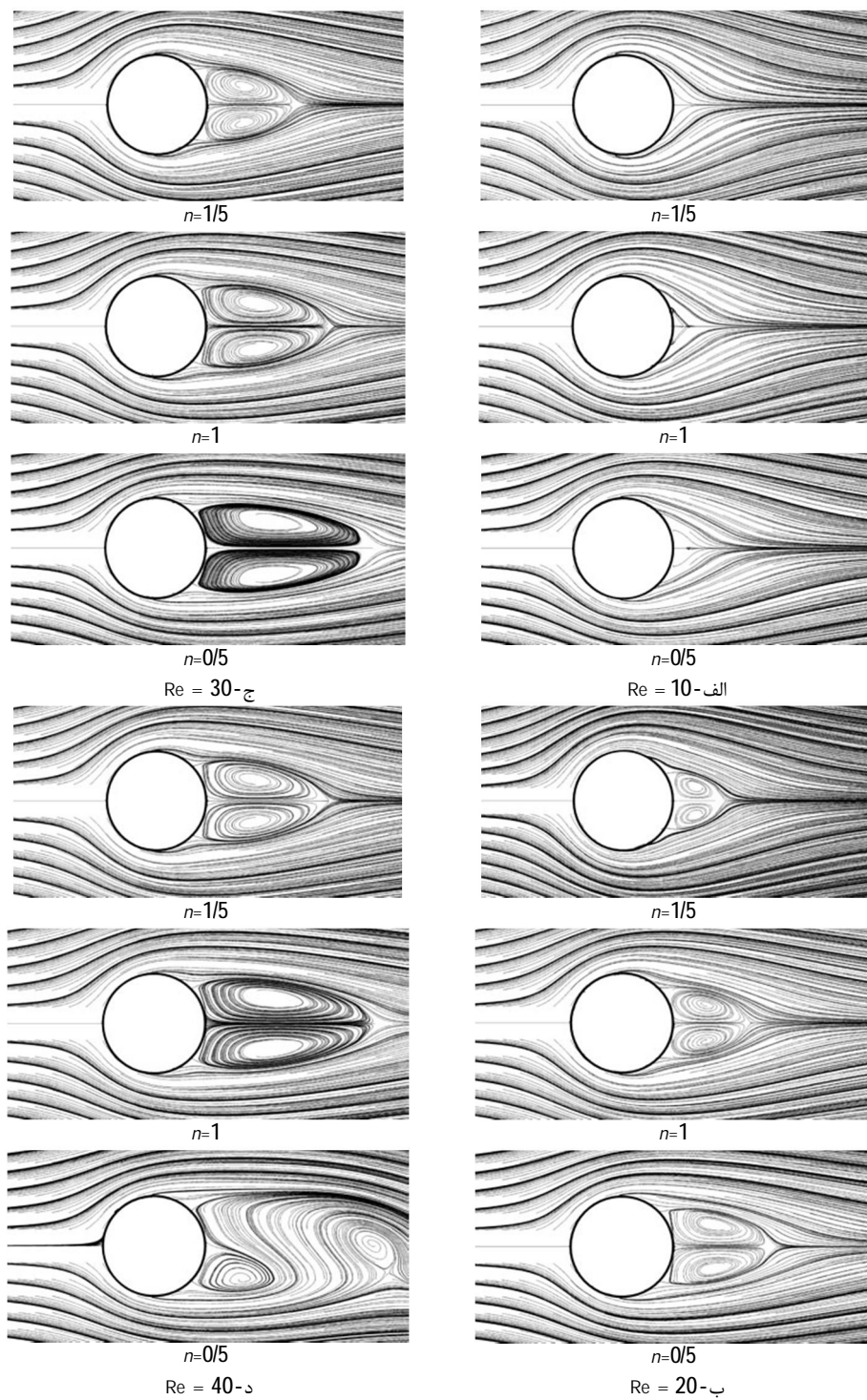
در این قسمت جهت معتبر سازی روش عددی ارائه شده به بررسی جریان سیال غیرنیوتی با مدل توانی بر روی یک سیلندر دایروی درون کاتال مطابق شکل 2 پرداخته می‌شود. برای معتبر سازی نتایج بدست آمده، ضریب درگ محاسبه شده از روش عددی حاضر، در اعداد رینولدز 5, 10, 20, 30 و 40 برای سه سیال مختلف با مشخصات ($n = 0/6, 1/1, 2/5$) با نتایج بهارتی و همکاران [25] در شکل 3 مقایسه شده است. همان‌طور که این شکل مشاهده می‌شود، تطابق خوبی بین نتایج بدست آمده از روش عددی حاضر و نتایج بهارتی و همکاران [25] وجود دارد.

4- جریان بر روی سیلندر بیضوی

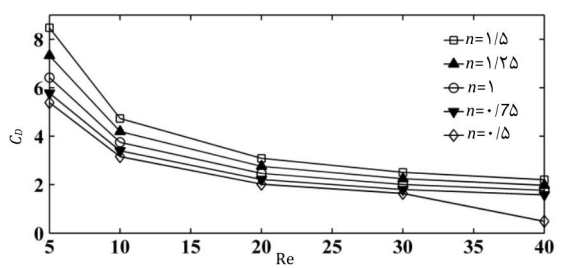
در این قسمت به بررسی جریان سیال توانی بر روی یک سیلندر دایروی در سه نسبت ابعادی ($n = 1/1, 5/2$) برای $Re \leq 40$ و برای پنج سیال مختلف با مشخصات $n = 0/5, 0/75, 1/1, 2/5, 1/5$ پرداخته شده است. (شکل 2). در حالت اول جریان بر روی سیلندر با نسبت ابعادی $n = 1$ (سیلندر دایروی) بررسی می‌شود.

در شکل 4، خطوط جریان سیال غیرنیوتی بر روی سیلندر دایروی در اعداد رینولدز 10, 20, 30 و 40 برای $n = 0/5, 1/1, 2/5$ ترسیم شده است. در این شکل اثرات عدد رینولدز و همچنین خواص غیرنیوتی سیال بر روی جریان قابل مشاهده می‌باشد. همان‌طور که در شکل 5-alf مشاهده می‌شود، در اعداد رینولدز کم ($Re = 10$) فارغ از نوع سیال و تغییرات n به علت کم بودن اثرات نیروی اینرسی در مقابل نیروی ویسکوز، جدایش سیال از روی استوانه رخ نمی‌دهد اما با افزایش عدد رینولدز ($Re = 20$) جریان سیال از روی استوانه به تدریج جدا شده و به علت بازیابی مومنت ورودی به مقدار اولیه، دو گردابه در پشت استوانه شروع به تشکیل شدن می‌کند. این گردابه‌ها با تغییر خواص سیال از سیال ضخیم شونده ($n > 1$) به سیال باریک شونده ($n < 1$) به علت کاهش ویسکوزیته سیال و کمتر شدن اثرات نیروی اصطکاک در مقابل نیروی اینرسی شروع به بزرگ شدن می‌کنند. همچنین با توجه به شکل‌های 5- ب، 5- ج و 5- د با افزایش عدد رینولدز در یک n خاص، طول گردابه‌ها تولید شده افزایش یافته و نقطه جدایش در زاویه کمتری نسبت به نقطه سکون اتفاق می‌افتد.

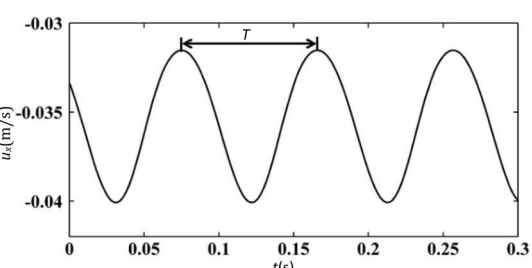
بعلاوه چنانچه ذکر شد در یک عدد رینولدز مشخص با کاهش مقدار شاخص مدل توانی (n)، زاویه جدایش نسبت به نقطه سکون کمتر شده و اندازه گردابه‌ها بزرگ‌تر می‌شود. تا آن حد که در $Re = 40$ (شکل 5- د) با کاهش میزان شاخص مدل توانی (n) از 1 به $0/5$ گردابه‌ها تا آن حد بزرگ شده که از حالت تقارن خارج گشته و شروع به حرکت در پشت سیلندر می‌کنند. که این حالت شروع ناحیه ناپایداری در جریان آرام در پشت سیلندر



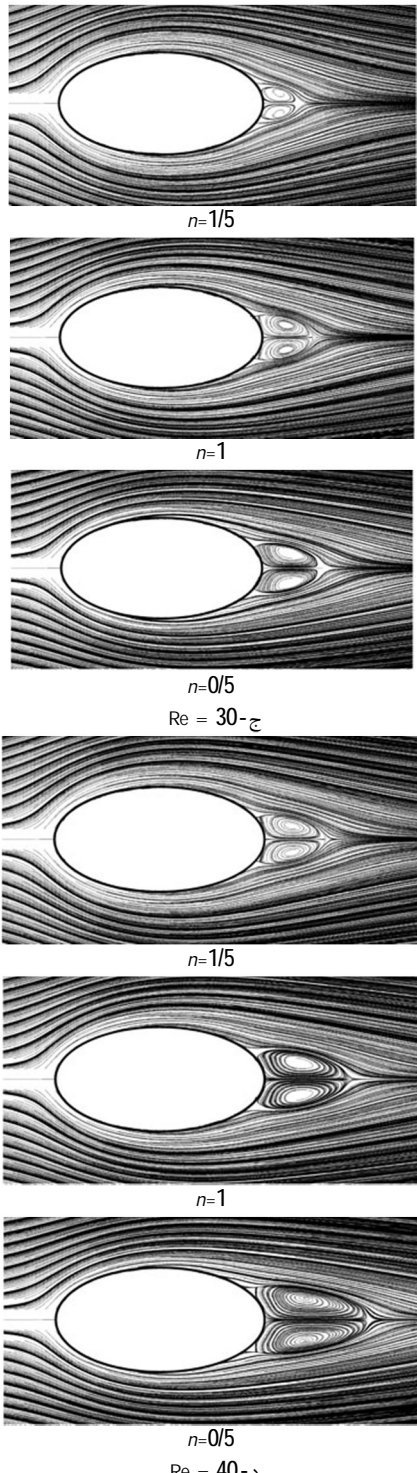
شکل 4 خطوط جریان سیال غیر نیوتونی در اطراف سیلندر دایروی در اعداد رینولدز مختلف



شکل 6 تغییرات ضریب درگ اطراف سیلندر دایروی بر حسب عدد رینولدز و شاخص مدل توانی (n)

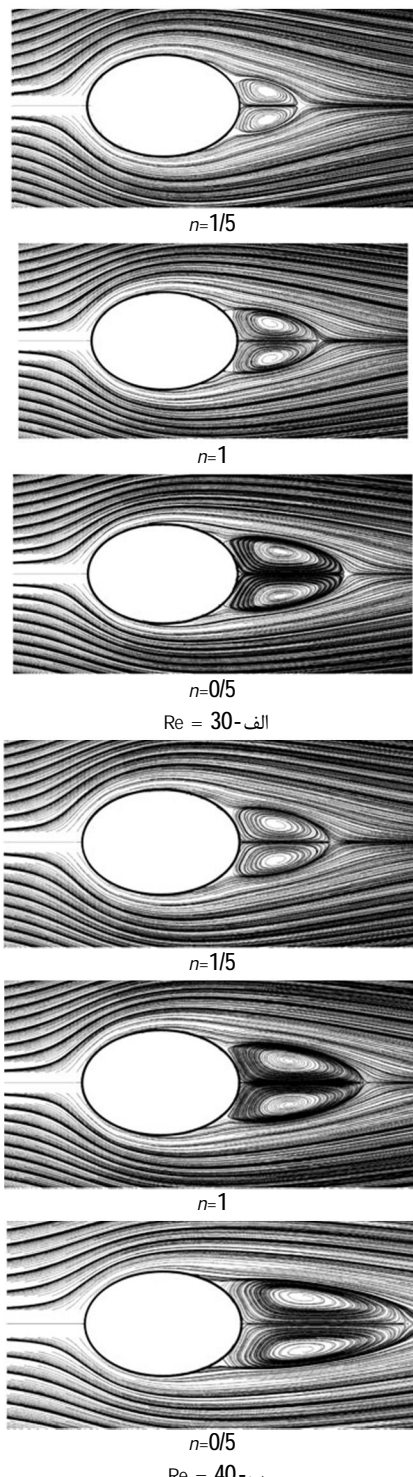
شکل 5 توزیع سرعت افقی در یک نقطه از پشت سیلندر دایره‌ای بر حسب زمان در حالت $n = 0/5$ و $Re = 40$

توانی (η) در دو نسبت ابعادی را نشان می‌دهد. شکل 8-الف و ب نشان می‌دهد که تغییرات ضریب درگ در هر دو حالت مشابه هم بوده و با افزایش عدد رینولدز به علت افزایش نیروی اینرسی در مقابل نیروی ویسکوز، ضریب درگ کاهش می‌یابد. اما نکته قابل توجه در این نمودار تغییرات مقادیر ضریب درگ در این دو حالت است. همان طور که این شکل نشان می‌دهد تغییرات ضریب درگ با n در هر دو حالت تقریباً با هم برابرند اما با افزایش مقدار نسبت ابعادی (سطح مقطع) تغییرات ضریب درگ با عدد رینولدز نیز بیشتر می‌شود.



این شکل نشان می‌دهد همانند جریان بر روی سیلندر دایروی، با افزایش عدد رینولدز و همچنین کاهش میزان n جدایی از سطح در زوایای کمتری نسبت به نقطه سکون اتفاق افتاده و گردابهای تولیدی در پشت سیلندر بزرگ‌تر می‌شوند اما در اینجا برخلاف سیلندر استوانه‌ای این بار گردابهای تولیدی در پشت سیلندر همچنان متقاضن بوده و جریان سیال پایدار است. بنابراین با تبدیل سیلندر دایروی به سیلندر بیضوی می‌توان ناپایداری در جریان را حتی بر اثر افزایش عدد رینولدز و یا کاهش n به تعویق انداخت.

شکل 8 تغییرات ضریب درگ بر حسب عدد رینولدز و شاخص مدل



شکل 7 خطوط جریان سیال غیرنیوتونی در اطراف سیلندر بیضوی بر حسب عدد رینولدز برای الف و ب - $n = 1/5$ ، $n = 1$ ، $n = 0/5$ و $n = 2$

برای مثال ضریب درگ برای سیلندر بیضوی در حالت $\eta = 1/5$ در $n = 1/5$, از مقدار 10 برای $Re = 5$ تا مقدار 2/2 در $Re = 40$ کاهش می‌یابد اما در حالت $\eta = 2$ تغییرات ضریب درگ از 12 به 2/3 برای اعداد رینولدز ذکر شده است. علت این امر را می‌توان به انحنای بیشتر سیلندر بیضوی و به تعویق افتادن جدایش در سطح نسبت داد. برای بررسی بیشتر اثرات سطح مقطع در شکل 9 تغییرات ضریب درگ نسبت به عدد رینولدز و نسبت ابعادی در سه شاخص مدل توانی (n) مختلف ترسیم شده است. این نمودار نشان می‌دهد با کاهش مقدار n اختلاف بین ضریب درگ در سه نسبت ابعادی را کاهش می‌دهد. یعنی با کاهش میزان شاخص مدل توانی تغییر سطح مقطع از دایره به بیضی (به خصوص در اعداد رینولدز بالا) تغییر چندانی در مقدار ضریب درگ ایجاد نمی‌کند. این نمودار همچنین نشان می‌دهد که افزایش عدد رینولدز در کاهش میزان ضریب درگ بیشترین تأثیر را داشته و همان‌طور که این شکل نشان می‌دهد افزایش نسبت ابعادی (n) در کاهش میزان ضریب درگ تأثیر کمتری دارد. تغییرات شاخص مدل توانی (n) هم کمترین میزان تأثیر بر کاهش ضریب درگ دارد.

5- جمع‌بندی

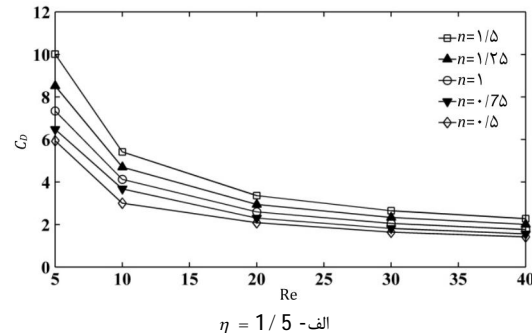
در تحقیق حاضر از ترکیب روش شبکه بولتزمن فشاری (از ائه شده توسط هی و لو [16]) و روش مرز غوطه‌ور (از ائه شده توسط وو و شو [7]) و اضافه کردن خواص غیرنیوتونی به آن یک روش جدید برای حل جریان سیال غیر نیوتونی بر روی مرزهای منحنی درون یک کانال ارائه شده است. نتایج این روش برای جریان سیال غیرنیوتونی بر روی یک سیلندر دایروی درون کانال با تنها تحقیق موجود در این زمینه (بهارتی و همکاران [25]) که توسط نرم‌افزار فلوئنت انجام گرفته بود مقایسه و معتبر سازی شده است. جهت نوع‌آوری بیشتر، برای اولین بار جریان سیال غیرنیوتونی بر روی یک سیلندر در یک حالت خاص (و) اثرات تشکیل گردابه‌های فن کارمن در پشت سیلندر بررسی گردید و مقدار عدد استرöhال برای آن حالت خاص محاسبه شده است. به طور خلاصه روش مورد استفاده در این تحقیق دارای مزیت‌های زیر است:

۱- جریان غیر قابل تراکم سیال درون کانال که مدل‌های معمولی شبکه بولتزمن به علت تغییرات خطی فشار با طول کانال، قادر به مدل‌سازی صحیح آن نیست در این روش به راحتی قابل حل است.

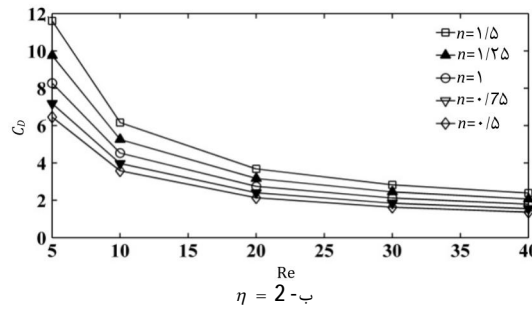
۲- به کمک این روش می‌توان بدون محدودیت شبکه بندی، جریان بر روی جسم‌های با مقطع پیچیده را مدل‌سازی نمود.

۳- شرط مرزی عدم لغزش که در روش‌های معمول محاسباتی بر روی مرزهای منحنی و پیچیده به سختی اعمال می‌شود، در این روش به علت تعریف نقاط لاغرانژی بر روی مرز، به راحتی قابل اعمال است.

۴- ضرایب تبدیل تعریف شده از محیط فیزیکی به محیط شبکه بولتزمن، این امکان را به این روش می‌دهد تا علاوه بر اعمال مقادیر و خواص واقعی محیط فیزیکی به محیط محاسباتی (که یکی از محدودیت‌های روش شبکه بولتزمن است) همچنین مدل‌های پیچیده تر غیرنیوتونی (همانند سیالات ویسکوالاستیک) نیز به کمک این روش اعمال گردد.

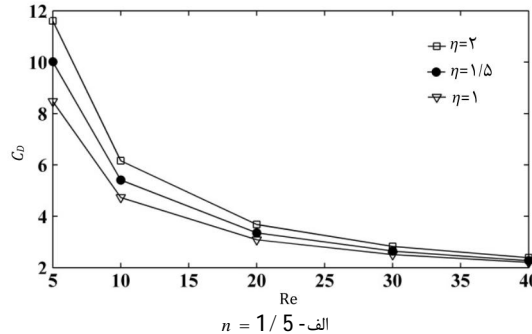


الف - $\eta = 1/5$

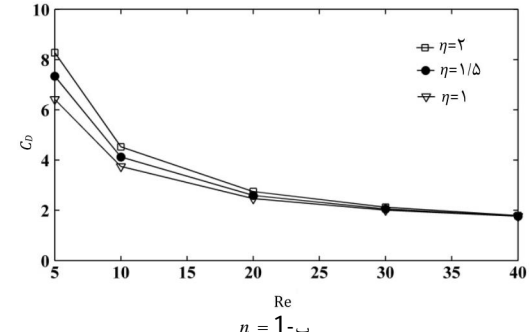


ب - $\eta = 2$

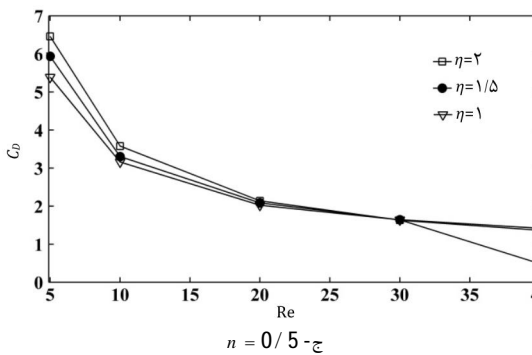
شکل 8 تغییرات ضریب درگ اطراف سیلندر بیضوی بر حسب عدد رینولدز و شاخص مدل توانی (n)



الف - $n = 1/5$



ب - $n = 1$



ج - $n = 0/5$

شکل 9 تغییرات ضریب درگ اطراف سیلندر بیضوی بر حسب عدد رینولدز و نسبت ابعادی (n)

6- مراجع

- [16] X. He, L.-S. Luo, Lattice Boltzmann model for the incompressible Navier–Stokes equation, *Journal of Statistical Physics*, Vol. 88, No. 3-4, pp. 927-944, 1997.
- [17] C. K. Aidun, Y. Lu, E.-J. Ding, Direct analysis of particulate suspensions with inertia using the discrete Boltzmann equation, *Journal of Fluid Mechanics*, Vol. 373, No. 1, pp. 287-311, 1998.
- [18] M. Ashrafiyadeh, V. Broujeni, Simulation of non-Newtonian fluid flow around curved boundary with Latice Boltzmann method, in *The 17th International Conference of mechanical engineering*, Tehran, Iran, 2009. (In Persian)
- [19] Z.-G. Feng, E. E. Michaelides, The immersed boundary-lattice Boltzmann method for solving fluid-particles interaction problems, *Journal of Computational Physics*, Vol. 195, No. 2, pp. 602-628, 2004.
- [20] Z.-G. Feng, E. E. Michaelides, < i> Proteus</i>: a direct forcing method in the simulations of particulate flows, *Journal of Computational Physics*, Vol. 202, No. 1, pp. 20-51, 2005.
- [21] X. Niu, C. Shu, Y. Chew, Y. Peng, A momentum exchange-based immersed boundary-lattice Boltzmann method for simulating incompressible viscous flows, *Physics Letters A*, Vol. 354, No. 3, pp. 173-182, 2006.
- [22] P. K. Rao, A. K. Sahu, R. Chhabra, Flow of Newtonian and power-law fluids past an elliptical cylinder: a numerical study, *Industrial & Engineering Chemistry Research*, Vol. 49, No. 14, pp. 6649-6661, 2010.
- [23] P. Sivakumar, R. P. Bharti, R. Chhabra, Steady flow of power-law fluids across an unconfined elliptical cylinder, *Chemical engineering science*, Vol. 62, No. 6, pp. 1682-1702, 2007.
- [24] R. Bharti, P. Sivakumar, R. Chhabra, Forced convection heat transfer from an elliptical cylinder to power-law fluids, *International Journal of Heat and Mass Transfer*, Vol. 51, No. 7, pp. 1838-1853, 2008.
- [25] R. P. Bharti, R. Chhabra, V. Eswaran, Two-dimensional steady Poiseuille flow of power-law fluids across a circular cylinder in a plane confined channel: wall effects and drag coefficients, *Industrial & engineering chemistry research*, Vol. 46, No. 11, pp. 3820-3840, 2007.
- [26] C. Sun, L. L. Munn, Particulate nature of blood determines macroscopic rheology: a 2-D lattice Boltzmann analysis, *Biophysical journal*, Vol. 88, No. 3, pp. 1635-1645, 2005.
- [27] D. Kehrwald, Lattice Boltzmann simulation of shear-thinning fluids, *Journal of statistical physics*, Vol. 121, No. 1-2, pp. 223-237, 2005.
- [28] S. Gabbanelli, G. Drazer, J. Koplik, Lattice Boltzmann method for non-Newtonian (power-law) fluids, *Physical Review E*, Vol. 72, No. 4, pp. 046312, 2005.
- [29] Z. Guo, C. Zheng, B. Shi, Discrete lattice effects on the forcing term in the lattice Boltzmann method, *PHYSICAL REVIEW E Phys Rev E*, Vol. 65, pp. 046308, 2002.
- [1] H. H. Hu, Direct simulation of flows of solid-liquid mixtures, *International Journal of Multiphase Flow*, Vol. 22, No. 2, pp. 335-352, 1996.
- [2] B. Maury, Direct simulations of 2D fluid-particle flows in biperiodic domains, *Journal of computational physics*, Vol. 156, No. 2, pp. 325-351, 1999.
- [3] H. H. Hu, N. A. Patankar, M. Zhu, Direct numerical simulations of fluid-solid systems using the arbitrary Lagrangian–Eulerian technique, *Journal of Computational Physics*, Vol. 169, No. 2, pp. 427-462, 2001.
- [4] R. Glowinski, T. W. Pan, T. I. Hesla, D. D. Joseph, J. Periaux, A distributed Lagrange multiplier/fictitious domain method for flows around moving rigid bodies: application to particulate flow, *International Journal for Numerical Methods in Fluids*, Vol. 30, No. 8, pp. 1043-1066, 1999.
- [5] R. Glowinski, T.-W. Pan, T. I. Hesla, D. D. Joseph, A distributed Lagrange multiplier/fictitious domain method for particulate flows, *International Journal of Multiphase Flow*, Vol. 25, No. 5, pp. 755-794, 1999.
- [6] Z. Yu, N. Phan-Thien, Y. Fan, R. I. Tanner, Viscoelastic mobility problem of a system of particles, *Journal of non-newtonian fluid mechanics*, Vol. 104, No. 2, pp. 87-124, 2002.
- [7] J. Wu, C. Shu, Particulate flow simulation via a boundary condition-enforced immersed boundary-lattice Boltzmann scheme, *Communications in Computational Physics*, Vol. 7, No. 4, pp. 793, 2010.
- [8] C. S. Peskin, Numerical analysis of blood flow in the heart, *Journal of Computational Physics*, Vol. 25, No. 3, pp. 220-252, 1977.
- [9] E. Fadlun, R. Verzicco, P. Orlandi, J. Mohd-Yusof, Combined immersed-boundary finite-difference methods for three-dimensional complex flow simulations, *Journal of Computational Physics*, Vol. 161, No. 1, pp. 35-60, 2000.
- [10] M. Uhlmann, An immersed boundary method with direct forcing for the simulation of particulate flows, *Journal of Computational Physics*, Vol. 209, No. 2, pp. 448-476, 2005.
- [11] X. Wang, W. K. Liu, Extended immersed boundary method using FEM and RKPM, *Computer Methods in Applied Mechanics and Engineering*, Vol. 193, No. 12, pp. 1305-1321, 2004.
- [12] L. Zhang, A. Gerstenberger, X. Wang, W. K. Liu, Immersed finite element method, *Computer Methods in Applied Mechanics and Engineering*, Vol. 193, No. 21, pp. 2051-2067, 2004.
- [13] S. Chen, G. D. Doolen, Lattice Boltzmann method for fluid flows, *Annual review of fluid mechanics*, Vol. 30, No. 1, pp. 329-364, 1998.
- [14] S. Succi, The lattice Boltzmann equation: for fluid dynamics and beyond: Oxford university press, 2001.
- [15] M. C. Sukop, D. T. Thorne Jr, Lattice Boltzmann modeling: an introduction for geoscientists and engineers: Springer Publishing Company, Incorporated, 2007.